

# 平成 25 年度 環境省環境放射線等 モニタリング調査等業務結果報告書

〔 空間  $\gamma$  線線量率及び大気浮遊じんの  
全  $\alpha$  ・ 全  $\beta$  放射能濃度に係る調査結果 〕

平成 26 年 3 月

公益財団法人 日本分析センター

## 概要

環境省では、平成 13 年 1 月の省庁再編に伴い「放射性物質に係る環境の状況の把握のための監視及び測定」が新たに文部科学省と共管事務となったことを受けて、平成 12 年度より環境放射線等モニタリングを実施している。

具体的には、従前より設置していた国設酸性雨測定所の施設を活用し、離島等の遠隔地を中心として、全国 10ヶ所の測定所に空間  $\gamma$  線測定装置及び大気浮遊じんの  $\alpha$  線・ $\beta$  線ダストモニタを設置し、それらをオンラインで接続し環境放射線に係る常時監視調査を実施している。また、測定所周辺において大気浮遊じんや土壤等の環境試料を定期的に採取し、極微量の放射能濃度レベルの経年変化及び変動要因を把握するため、ゲルマニウム半導体検出器による  $\gamma$  線スペクトロメトリー並びにストロンチウム 90 及びセシウム 137 の放射化学分析による調査を実施している。

本報告書は、環境放射線等モニタリングの調査結果について、「環境放射線等モニタリングデータ評価検討会」の検討結果を踏まえ、とりまとめたものである。

調査結果の概要を以下に示す。

### (1) 環境試料中の核種分析結果（平成 24 年 10 月～平成 25 年 9 月採取分）

$\gamma$  線スペクトロメトリーによって大気浮遊じん、大気降下物、土壤及び陸水を分析した結果、極めて微量ではあるが、人工放射性核種のセシウム 137 が検出された。

また、ストロンチウム 90 分析の結果は環境放射能水準調査結果等の結果と同程度の結果であった。

### (2) 自動モニタリングによる測定データの監視結果（平成 25 年 1 月～12 月測定分）

- 1) 空間  $\gamma$  線線量率は過去 3 年間の測定結果と同程度の結果であった。人工放射性核種の影響は認められなかった。
- 2) 全  $\alpha$ ・全  $\beta$  放射能濃度は過去 3 年間の測定結果と同程度の結果であった。全  $\beta$  / 全  $\alpha$  放射能濃度比に異常は見られず、人工放射性核種の影響は認められなかった。

## *Summary*

The Ministry of the Environment (MOE) has conducted environmental radiation monitoring in cooperation with the Ministry of Education, Culture, Sports, Science and Technology (MEXT) since 2001.

An automatic gamma ray measurement system, alpha ray and beta ray dust monitors were installed at 10 sites at remote locations in Japan, such as isolated islands. The monitoring data has been watched continuously on a line system owned by MOE.

Gamma ray spectrometry using a germanium semiconductor detector, and radiochemical analyses of strontium-90 and cesium-137 were also carried out on environmental samples such as airborne dust, soil, etc. in order to understand inter-annual changes in low levels of radioactive concentration and to identify their factors.

The results of the environmental radiation monitoring investigation were discussed by a study committee. The results were summarized as follows:

### (1) Results of radionuclide analysis in environmental samples

Gamma ray spectrometry showed that cesium-137 was the artificial radionuclide detected, although in very small amounts, in the airborne dust, the precipitation (dry and wet deposition), the soil and ground water. The radioanalytical results for strontium-90 were also the same levels as those obtained in the study on environmental radiation levels.

### (2) Results of monitoring with automatic monitors

- 1) The gamma ray dose rates in the air were almost the same as those observed in the results obtained over the past three years. No influence of artificial radionuclide on monitoring data was observed.
- 2) The levels of total alpha and beta activities in airborne dust were almost the same as those observed in the results obtained over the past three years. No influence of artificial radionuclide on monitoring data was observed.

## 環境放射線等モニタリングデータ評価検討会

### ○環境放射線等モニタリングデータ評価検討会委員

座 長 小佐古 敏莊 東京大学大学院工学系研究科原子力専攻教授  
委 員 五十嵐 康人 気象庁気象研究所環境・応用気象研究部第4研究室長  
澤田 譲 青森県原子力センター安全監視課主幹  
滝 光成 独立行政法人日本原子力研究開発機構  
東海研究開発センター原子力科学研究所  
放射線管理部環境放射線管理課技術副主幹  
田中 敦 独立行政法人国立環境研究所環境計測研究センター  
同位体・無機計測研究室主任研究員  
藤田 博喜 独立行政法人日本原子力研究開発機構  
東海研究開発センター核燃料サイクル工学研究所  
放射線管理部環境監視課研究副主幹兼分析チームリーダー

本検討会の内容については、「平成25年度環境省環境放射線等モニタリング調査等業務結果報告書（別冊）」に記載している。

## 目 次

|  |    |
|--|----|
| 1. 調査の目的及び内容 -----   | 1  |
| 1.1 調査目的 -----   | 1  |
| 1.2 調査内容 -----   | 1  |
| 1.3 監視システム -----   | 1  |
| 1.3.1 監視システムの概要 -----  | 1  |
| 1.3.2 測定項目 -----   | 1  |
| 2. 自動測定データの評価・解析方法 -----   | 3  |
| 2.1 自動測定データの解析方法 -----   | 3  |
| 2.1.1 空間 $\gamma$ 線線量率 -----   | 3  |
| 2.1.2 大気浮遊じんの全 $\alpha$ ・全 $\beta$ 放射能濃度 -----                               | 3  |
| 2.2 自動測定データの解析結果 -----   | 4  |
| 2.2.1 空間 $\gamma$ 線線量率の解析結果 -----  | 4  |
| 2.2.2 大気浮遊じんの全 $\alpha$ ・全 $\beta$ 放射能濃度の解析結果 -----                          | 6  |
| 2.3 今後の課題 -----  | 10 |
| 3. モニタリング測定値に係る<br>対応基準値（全 $\beta$ / 全 $\alpha$ 放射能濃度比）の設定について -----         | 12 |
| 3.1 自動測定装置の更新後の対応基準値の設定方法 -----  | 12 |
| 3.2 自動測定装置が更新された測定所の対応基準値の設定 -----   | 12 |
| 3.3 自動測定装置が更新されて 3 年を経過した測定所の対応基準値の設定 -----                                  | 13 |
| 4. まとめ -----   | 15 |
| 4.1 空間 $\gamma$ 線線量率 -----   | 15 |
| 4.2 大気浮遊じんの全 $\alpha$ ・全 $\beta$ 放射能濃度 -----                                 | 15 |
| 4.3 対応基準値（全 $\beta$ / 全 $\alpha$ 放射能濃度比） -----                               | 15 |
| 付録目次 -----   | 17 |
| 付録 1 環境放射性物質監視システムの自動測定データについて -----   | 21 |
| 付録 2 自動測定装置に係る諸データ -----   | 25 |
| 付録 3 図表集 -----   | 31 |
| 付録 4 空間 $\gamma$ 線線量率及び大気浮遊じんの<br>全 $\alpha$ ・全 $\beta$ 放射能濃度の変動要因について ----- | 73 |
| 付録 5 対応基準値 -----   | 77 |
| 付録 6 放射線測定装置 -----   | 81 |

## 1. 調査の目的及び内容

### 1.1 調査目的

環境省では、放射性降下物等による環境への影響を把握するために、全国に設置された国設酸性雨測定所のうち遠隔地を含めた 10ヶ所に、空間  $\gamma$  線測定装置及び大気浮遊じんの全  $\alpha$  放射能及び全  $\beta$  放射能測定装置（以下「自動測定装置」という。）を設置し、空間  $\gamma$  線線量率並びに大気浮遊じんの全  $\alpha$ ・全  $\beta$  放射能濃度データ（以下「自動測定データ」という。）を自動収集するとともに、これらの自動測定データをオンラインで当該自治体を経由し、環境省及び公益財団法人日本分析センター（以下「分析センター」という。）へ自動送信・蓄積する環境放射性物質監視システム（以下「監視システム」という。）を運用している。また、10ヶ所の測定所周辺で採取した環境試料の放射性核種分析を行っている。

本調査は、自動測定データ及び環境試料の放射性核種分析の結果から、各測定所における平常時の放射能レベル及びその変動パターンを把握することにより、今後の原子力事故等の際に汚染の程度を把握するための基礎資料を得ることを目的とする。

### 1.2 調査内容

平成 25 年 1 月 1 日から 12 月 31 日の期間に得られた自動測定データの整理・解析を行った。また、学識経験者からなる「環境放射線等モニタリングデータ評価検討会」（以下「評価検討会」という。）において、これらの測定結果について評価を行った。

### 1.3 監視システム

#### 1.3.1 監視システムの概要

監視システムを設置している測定所及びネットワーク構成を図 1 に示す。

監視システムは、測定所、自治体、環境省及び分析センターにそれぞれ端末が設置されており、環境省及び分析センターには本システムのデータを蓄積するデータベースが設置されている。

#### 1.3.2 測定項目

各測定所で収集している自動測定データの種類を表 1 に示す。

なお、監視システム及び自動測定データの詳細については付録 1 に示す。

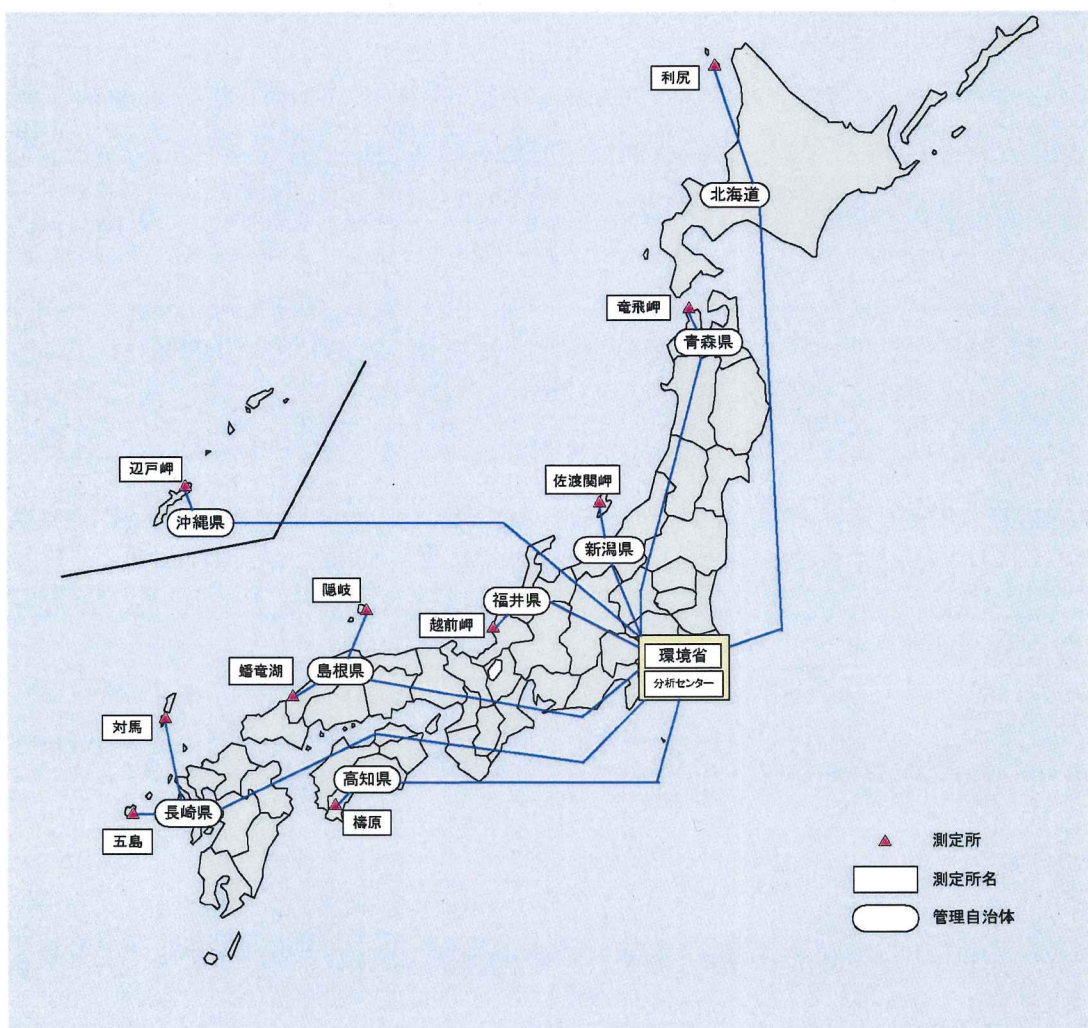


図1 環境放射性物質監視システムにおける測定所及びネットワーク構成

表1 環境放射性物質監視システムにおけるデータの種類

| 測定項目  | データ                   | 測定所 <sup>*1</sup> |
|---|-----------------------|-------------------|
| 空間 $\gamma$ 線線量率 (連続測定)   | 1時間毎のデータ<br>及び2分毎のデータ | 10測定所             |
| 大気浮遊じんの全 $\alpha$ ・全 $\beta$<br>放射能濃度<br>(6時間毎の連続集じん) <sup>*2</sup> | 集じん中 <sup>*3</sup>    | 10分毎のデータ          |
|   | 2ステップ後 <sup>*4</sup>  | 10分毎のデータ          |
| 気象データ (風向・風速・降水量・感雨)  | 1時間毎のデータ              | 10測定所             |

\*1 利尻、竜飛岬、佐渡関岬、越前岬、隠岐、蟠竜湖、橋原、対馬、五島、辺戸岬の10測定所

\*2 通常は6時間毎の連続集じん(第1モード)を行うが、対応基準値を超えると1時間毎の連続集じん(第2モード)に運転が切り替わる。

\*3 大気浮遊じんの集じん中の測定データ

\*4 集じん終了後6時間後に測定開始

## 2. 自動測定データの評価・解析方法

### 2.1 自動測定データの解析方法

10ヶ所の測定所で得られた自動測定データについて、評価・解析を行った。  
なお、装置のトラブル等に起因するデータは評価・解析の対象から除外<sup>☆1</sup>した。

#### 2.1.1 空間 $\gamma$ 線線量率

- (1) 1時間毎のデータを対象として、降雨等の気象データを参考に、過去3年間の調査結果との比較・評価を行った。
- (2) 得られたデータの月毎及び年間の平均、最大値、最小値及び標準偏差を求め、変動範囲を付録3に示した。
- (3) 空間 $\gamma$ 線線量率、 $\gamma$ 線通過率<sup>☆2</sup>及び降水量の経時変化を付録3に示した。
- (4) 空間 $\gamma$ 線線量率の値は通過率及び降雨のデータとともにその変動を監視し、空間 $\gamma$ 線線量率が大きく変動している場合には、その要因について調査を行った。

#### 2.1.2 大気浮遊じんの全 $\alpha$ ・全 $\beta$ 放射能濃度

- (1) 集じん中及び2ステップ後ともに測定6時間目のデータを対象として、過去3年間の調査結果との比較・評価を行った。
- (2) 得られたデータの月毎及び年間の平均、最大値、最小値及び標準偏差を求め、変動範囲を付録3に示した。
- (3) 集じん中及び2ステップ後の全 $\alpha$ ・全 $\beta$ 放射能濃度、集じん中の全 $\beta$ /全 $\alpha$ 放射能濃度比<sup>☆3</sup>の経時変化を付録3に示した。
- (4) 集じん中の全 $\alpha$ ・全 $\beta$ 放射能濃度及び全 $\beta$ /全 $\alpha$ 放射能濃度比について、値が大きく変動している場合には、その要因について調査を行った。

☆1 自動測定装置や通信状態の異常を表す属性値(Status)が付加されたデータの他、測定装置の保守・点検時及び自動測定装置の積算流量の異常、ろ紙の装着に係るトラブル等、装置または人為的要素に起因するデータがある。

属性値、気象にかかるデータ異常、測定機器等の保守・点検日、自動測定装置のろ紙交換日及びその他のデータ異常発生日については、付録2に示す。

☆2  $\gamma$ 線通過率は、NaI(Tl)シンチレーション検出器により検出された $\gamma$ 線のエネルギーを推定するための指標で、単位時間あたりの $\gamma$ 線計数率に対する線量率の比で算出される。一般に原子力発電所由来の人工放射性核種は、バックグラウンドの $\gamma$ 線よりエネルギーが低く、空間 $\gamma$ 線線量率の上昇時に通過率が下降する。また、降雨による天然の放射性核種の影響を受けた場合には、通過率が上昇することが知られている。

☆3 原子力発電所由来の人工放射性核種には $\beta$ 線放出核種が多いことから、大気浮遊じんの全 $\alpha$ 及び全 $\beta$ 放射能濃度の同時測定を行っている場合には、全 $\alpha$ 放射能濃度に対する全 $\beta$ 放射能濃度の比の異常が人工放射性核種の有無の指標とされる。

## 2.2 自動測定データの解析結果

### 2.2.1 空間 $\gamma$ 線線量率の解析結果

#### (1) 基本的な諸データ

各測定所の空間  $\gamma$  線線量率の集計結果を付表 10-1～10-10（付録 3・図表集 II 集計表）に、また各測定所における空間  $\gamma$  線線量率の変動範囲を付図 1（付録 3・図表集 I 変動範囲図）に示す。

#### (2) 変動範囲

全測定所における空間  $\gamma$  線線量率の変動範囲は、表 2 に示すとおり過去 3 年間の変動範囲とほぼ同程度であった。

表 2 空間  $\gamma$  線線量率の変動範囲

(nGy/h)

| 測定所  | 解析結果        |   |                  |     | 参考               |               |     |   |     |     |
|------|-------------|---|------------------|-----|------------------|---------------|-----|---|-----|-----|
|      | 平成25年1月～12月 |   | 最大値出現月日<br>及び天候* |     | 平成22年1月～平成24年12月 |               |     |   |     |     |
|      | 最小値         | ～ | 最大値              | 平均値 | 月日               | 天候            | 最小値 | ～ | 最大値 | 平均値 |
| 利尻   | 5           | ～ | 91               | 13  | 12/7             | 雪後一時曇         | 4   | ～ | 78  | 13  |
| 龍飛岬  | 16          | ～ | 82               | 29  | 8/9              | 曇時々大雨、雷を伴う    | 16  | ～ | 90  | 29  |
| 佐渡関岬 | 17          | ～ | 72               | 23  | 11/20            | 大雨、雷・あられを伴う   | 13  | ～ | 72  | 22  |
| 越前岬  | 19          | ～ | 72               | 24  | 3/1              | 曇後雨           | 12  | ～ | 114 | 25  |
| 隱岐   | 47          | ～ | 85               | 50  | 4/24             | 雨後時々曇、霧を伴う    | 42  | ～ | 83  | 50  |
| 蟠竜湖  | 46          | ～ | 117              | 52  | 12/27            | 雪一時みぞれ、あられを伴う | 43  | ～ | 136 | 52  |
| 樅原   | 23          | ～ | 97               | 30  | 8/14             | 晴**           | 21  | ～ | 74  | 30  |
| 対馬   | 32          | ～ | 94               | 35  | 3/1              | 雨一時曇          | 27  | ～ | 88  | 35  |
| 五島   | 26          | ～ | 83               | 29  | 11/25            | 大雨時々曇         | 26  | ～ | 92  | 30  |
| 辺戸岬  | 20          | ～ | 54               | 23  | 4/20             | 雨時々曇          | 19  | ～ | 65  | 23  |

\* 最大値出現日の天候については、気象庁気象統計情報の天気概況を参照した。

\*\*測定所設置の気象計では8月14日16時に17.5mmの降雨が観測されている。

#### (3) 変動要因の検討

各測定所における空間  $\gamma$  線線量率、降水量及び  $\gamma$  線通過率の経時変化を付図 3-1～3-10（付録 3・図表集 III 経時変化図）に示す。

降雨時または降雪時に空間  $\gamma$  線線量率の上昇は認められたが、 $\gamma$  線通過率に異常が見られなかつたことから、人工放射性核種の影響はなかつたと判断された。

空間  $\gamma$  線線量率の変動要因は、付表 12（付録 4）に示す事項が知られている。

空間  $\gamma$  線線量率の値が、各測定所における年間の平均値から標準偏差の 3 倍を超えたものについては、その回数を表 3 に示した。

表3 空間 $\gamma$ 線線量率の変動とその要因

(平成25年1月1日～12月31日の調査結果)

| 測定所  | 空間 $\gamma$ 線線量率 (nGy/h) |     |     |      | 平均値-3 $\sigma$<br>を下回った<br>回数 | 平均値+3 $\sigma$<br>を超えた<br>回数 | 総データ数<br>(個) | 要因*         |
|------|--------------------------|-----|-----|------|-------------------------------|------------------------------|--------------|-------------|
|      | 最小値                      | 最大値 | 平均値 | 標準偏差 |                               |                              |              |             |
| 利尻   | 5                        | 91  | 13  | 5.9  | 0                             | 144                          | 8729         | 降雨・降雪・積雪の影響 |
| 竜飛岬  | 16                       | 82  | 29  | 4.9  | 0                             | 135                          | 8718         | 降雨・降雪・積雪の影響 |
| 佐渡関岬 | 17                       | 72  | 23  | 4.1  | 0                             | 233                          | 8551         | 降雨・降雪・積雪の影響 |
| 越前岬  | 19                       | 72  | 24  | 4.3  | 0                             | 247                          | 8401         | 降雨・降雪・積雪の影響 |
| 隱岐   | 47                       | 85  | 50  | 2.5  | 0                             | 174                          | 8685         | 降雨・降雪・積雪の影響 |
| 蟠竜湖  | 46                       | 117 | 52  | 5.1  | 0                             | 177                          | 8727         | 降雨・降雪の影響    |
| 檍原   | 23                       | 97  | 30  | 3.7  | 0                             | 190                          | 8614         | 降雨・降雪・積雪の影響 |
| 対馬   | 32                       | 94  | 35  | 3.4  | 0                             | 185                          | 8696         | 降雨・降雪の影響    |
| 五島   | 26                       | 83  | 29  | 3.2  | 0                             | 199                          | 8617         | 降雨・降雪の影響    |
| 辺戸岬  | 20                       | 54  | 23  | 2.2  | 0                             | 200                          | 8626         | 降雨の影響       |

\*気象データが得られない期間があったため、気象庁気象統計情報の天気概況及び、 $\gamma$ 線通過率の上昇から降雨等の影響と判断した。

### ①降雨・降雪による影響

全ての測定所において、降雨時に空間 $\gamma$ 線線量率の増加及び $\gamma$ 線通過率の上昇が確認された。これは降雨・降雪に伴い、地表近くに集まった大気中のラドン及びその壊変生成物の影響によるものと考えられる。

### ②積雪による影響

利尻測定所（付図3-1）において1月から4月及び12月に、竜飛岬測定所（付図3-2）において1月から3月に、佐渡関岬測定所（付図3-3）において1月から2月に、越前岬測定所（付図3-4）において1月に空間 $\gamma$ 線線量率の低下が見られた。

これは、大地からの放射線が積雪により遮蔽されることによるものと考えられる。

## (4) トラブルについて

次のようなトラブルがあった。

### ①UPS（無停電電源装置）の故障

檍原測定所において11月及び12月に、空間 $\gamma$ 線線量率の欠測が生じた。自動測定装置のUPSに故障が認められたため、県担当者がUPSを外して接続することで対処した。

### ②停電

辺戸岬測定所において10月に、空間 $\gamma$ 線線量率及び気象データの欠測が生じた。原因是、台風の影響による停電であり、県担当者がUPSの電源を入れ復旧した。

### ③測定所端末の故障

竜飛岬測定所において1月に、空間 $\gamma$ 線線量率の欠測が生じた。測定所端末が停止しており、メモリーの接触不良の表示がされ起動できなかつたため、メモリーを挿し直したところ起動できるようになり、データの収集が再開された。

#### ④落雷による影響

越前岬測定所において4月及び5月に空間 $\gamma$ 線線量率、全 $\alpha$ ・全 $\beta$ 放射能濃度、並びに4月から7月に気象データの欠測が生じた。落雷の影響により測定所端末および気象機器が故障した。富士通FIP(株)が測定所端末の通信ボードを交換し、小笠原計器がデータロガーを修理することで対処し、正常に稼動していることを確認した。

#### (5) 北朝鮮による地下核実験の影響について

平成25年2月12日に朝鮮民主主義人民共和国(北朝鮮)が地下核実験を実施したと発表があったが、空間 $\gamma$ 線線量率は通常のレベルで推移し、 $\gamma$ 線通過率に異常は認められなかった。

#### (6) 自動測定装置及び自治体端末の更新

##### ①自動測定装置の更新

越前岬測定所において自動測定装置が更新された。

##### ②自治体端末の更新

今年度の更新はなかった。

### 2.2.2 大気浮遊じんの全 $\alpha$ ・全 $\beta$ 放射能濃度の解析結果

#### (1) 基本的な諸データ

各測定所の全 $\alpha$ ・全 $\beta$ 放射能濃度及び全 $\beta$ /全 $\alpha$ 放射能濃度比の集計結果を付表11-1～11-10(付録3・図表集II集計表)に、全測定所の全 $\alpha$ ・全 $\beta$ 放射能濃度の変動範囲を付図2-1～2-4(付録3・図表集I変動範囲図)に示す。

#### (2) 放射能濃度の変動範囲

全測定所における全 $\alpha$ ・全 $\beta$ 放射能濃度の「集じん中測定」及び「2ステップ後測定」の放射能濃度範囲は表4-1～4-4に示すとおり、過去3年間の変動範囲とほぼ同程度であった。

表 4-1 大気浮遊じんの全  $\alpha$  放射能濃度（集じん中） $(10^{-6}\text{Bq}/\text{cm}^3)$ 

| 測定所  | 解析結果        |   |     | 参考               |        |   |     |      |
|------|-------------|---|-----|------------------|--------|---|-----|------|
|      | 平成25年1月～12月 |   |     | 平成22年1月～平成24年12月 |        |   |     |      |
|      | 最小値         | ～ | 最大値 | 平均値              | 最小値    | ～ | 最大値 | 平均値  |
| 利尻   | 0.019       | ～ | 2.8 | 0.48             | 0.017  | ～ | 3.1 | 0.57 |
| 竜飛岬  | 0.033       | ～ | 2.7 | 0.53             | 0.020  | ～ | 2.3 | 0.55 |
| 佐渡関岬 | 0.053       | ～ | 2.9 | 0.58             | 0.043  | ～ | 2.1 | 0.60 |
| 越前岬  | 0.065       | ～ | 2.1 | 0.63             | 0.023  | ～ | 1.8 | 0.57 |
| 隱岐   | 0.031       | ～ | 3.0 | 0.75             | 0.033  | ～ | 3.1 | 0.70 |
| 蟠竜湖  | 0.033       | ～ | 8.8 | 1.9              | 0.036  | ～ | 8.8 | 1.9  |
| 檍原   | 0.016       | ～ | 3.3 | 0.81             | 0.017  | ～ | 3.7 | 0.81 |
| 対馬   | 0.025       | ～ | 3.0 | 0.65             | 0.0050 | ～ | 2.4 | 0.60 |
| 五島   | 0.011       | ～ | 2.5 | 0.56             | 0.013  | ～ | 2.6 | 0.55 |
| 辺戸岬  | 0.0081      | ～ | 2.2 | 0.36             | 0.0057 | ～ | 2.1 | 0.35 |

表 4-2 大気浮遊じんの全  $\alpha$  放射能濃度（2ステップ後<sup>\*</sup>） $(10^{-6}\text{Bq}/\text{cm}^3)$ 

| 測定所  | 解析結果        |   |        | 参考               |          |   |       |        |
|------|-------------|---|--------|------------------|----------|---|-------|--------|
|      | 平成25年1月～12月 |   |        | 平成22年1月～平成24年12月 |          |   |       |        |
|      | 最小値         | ～ | 最大値    | 平均値              | 最小値      | ～ | 最大値   | 平均値    |
| 利尻   | 0           | ～ | 0.014  | 0.0012           | 0        | ～ | 0.020 | 0.0014 |
| 竜飛岬  | 0           | ～ | 0.0099 | 0.0014           | 0        | ～ | 0.014 | 0.0017 |
| 佐渡関岬 | 0           | ～ | 0.016  | 0.0030           | 0        | ～ | 0.025 | 0.0032 |
| 越前岬  | 0           | ～ | 0.043  | 0.0080           | 0        | ～ | 0.055 | 0.0071 |
| 隱岐   | 0.000084    | ～ | 0.097  | 0.0098           | 0.000061 | ～ | 0.071 | 0.0092 |
| 蟠竜湖  | 0.000088    | ～ | 0.17   | 0.030            | 0        | ～ | 0.19  | 0.028  |
| 檍原   | 0.00043     | ～ | 0.065  | 0.012            | 0.00031  | ～ | 0.090 | 0.011  |
| 対馬   | 0.00037     | ～ | 0.063  | 0.010            | 0.00027  | ～ | 0.067 | 0.011  |
| 五島   | 0.00051     | ～ | 0.060  | 0.0086           | 0.00039  | ～ | 0.063 | 0.0099 |
| 辺戸岬  | 0           | ～ | 0.075  | 0.0030           | 0        | ～ | 0.042 | 0.0034 |

\* 集じん終了後、12時間後の測定データを集計

表 4-3 大気浮遊じんの全  $\beta$  放射能濃度（集じん中） $(10^{-6}\text{Bq}/\text{cm}^3)$ 

| 測定所  | 解析結果        |   |     | 参考               |        |   |     |      |
|------|-------------|---|-----|------------------|--------|---|-----|------|
|      | 平成25年1月～12月 |   |     | 平成22年1月～平成24年12月 |        |   |     |      |
|      | 最小値         | ～ | 最大値 | 平均値              | 最小値    | ～ | 最大値 | 平均値  |
| 利尻   | 0.024       | ～ | 3.5 | 0.61             | 0.018  | ～ | 3.8 | 0.75 |
| 竜飛岬  | 0.042       | ～ | 3.4 | 0.69             | 0.027  | ～ | 3.1 | 0.76 |
| 佐渡関岬 | 0.068       | ～ | 3.9 | 0.79             | 0.058  | ～ | 2.8 | 0.84 |
| 越前岬  | 0.096       | ～ | 2.8 | 0.87             | 0.039  | ～ | 2.6 | 0.85 |
| 隱岐   | 0.043       | ～ | 3.7 | 0.99             | 0.046  | ～ | 4.1 | 0.96 |
| 蟠竜湖  | 0.038       | ～ | 11  | 2.6              | 0.041  | ～ | 12  | 2.5  |
| 檣原   | 0.025       | ～ | 3.9 | 1.1              | 0.016  | ～ | 4.7 | 1.1  |
| 対馬   | 0.030       | ～ | 3.4 | 0.85             | 0.0045 | ～ | 3.0 | 0.83 |
| 五島   | 0.0085      | ～ | 2.8 | 0.73             | 0.014  | ～ | 3.3 | 0.76 |
| 辺戸岬  | 0.0069      | ～ | 2.5 | 0.46             | 0.0038 | ～ | 2.7 | 0.46 |

表 4-4 大気浮遊じんの全  $\beta$  放射能濃度（2ステップ後<sup>\*</sup>） $(10^{-6}\text{Bq}/\text{cm}^3)$ 

| 測定所  | 解析結果        |   |       | 参考               |         |   |       |        |
|------|-------------|---|-------|------------------|---------|---|-------|--------|
|      | 平成25年1月～12月 |   |       | 平成22年1月～平成24年12月 |         |   |       |        |
|      | 最小値         | ～ | 最大値   | 平均値              | 最小値     | ～ | 最大値   | 平均値    |
| 利尻   | 0           | ～ | 0.022 | 0.0024           | 0       | ～ | 0.030 | 0.0027 |
| 竜飛岬  | 0           | ～ | 0.018 | 0.0031           | 0       | ～ | 0.023 | 0.0030 |
| 佐渡関岬 | 0           | ～ | 0.029 | 0.0072           | 0       | ～ | 0.089 | 0.0058 |
| 越前岬  | 0           | ～ | 0.070 | 0.012            | 0       | ～ | 0.086 | 0.012  |
| 隱岐   | 0           | ～ | 0.15  | 0.016            | 0.00052 | ～ | 0.11  | 0.016  |
| 蟠竜湖  | 0.00054     | ～ | 0.27  | 0.048            | 0       | ～ | 0.33  | 0.046  |
| 檣原   | 0           | ～ | 0.11  | 0.018            | 0       | ～ | 0.14  | 0.017  |
| 対馬   | 0           | ～ | 0.11  | 0.016            | 0.00064 | ～ | 0.11  | 0.019  |
| 五島   | 0           | ～ | 0.090 | 0.014            | 0.00020 | ～ | 0.091 | 0.016  |
| 辺戸岬  | 0           | ～ | 0.11  | 0.0048           | 0       | ～ | 0.066 | 0.0055 |

\* 集じん終了後、12時間後の測定データを集計

### (3) 変動要因の検討

各測定所における全 $\alpha$ ・全 $\beta$ 放射能濃度及び全 $\beta$ /全 $\alpha$ 放射能濃度比の経時変化を付図4-1～4-50（付録3・図表集III経時変化図）に示す。

全 $\alpha$ ・全 $\beta$ 放射能濃度については過去3年間とほぼ同程度であり、また、全 $\beta$ /全 $\alpha$ 放射能濃度比はほぼ一定の範囲内にあることから、人工放射性核種の影響はなかったと判断された。

「集じん中測定」の全 $\alpha$ ・全 $\beta$ 放射能濃度の変動範囲は、最大で3桁の変動が見られた。

一般的に、大気中のラドン及びその壊変生成物の濃度は周辺の地質によりそのレベルに差があること、さらに気象条件によって100倍（0.2～20Bq/m<sup>3</sup>）程度変動することが知られており、本調査結果における放射能濃度の変動も同様の要因によるものと考えられる。

また、「2ステップ後測定」の全 $\alpha$ ・全 $\beta$ 放射能濃度は、「集じん中測定」の結果と比較して、2桁から3桁低い結果であるが、これは集じんろ紙に捕集されたラドンの壊変生成物が放射性壊変により減衰したためである。

### (4) 第2モード運転について

#### ①降雨による影響

樅原測定所において5月に、第2モード運転となった。原因は降雨により全 $\alpha$ ・全 $\beta$ 放射能濃度が低くなり、測定値がばらついたためと考えられた。

#### ②海洋起源の空気塊による影響

辺戸岬測定所において7月から9月に、第2モード運転となった。原因は海洋起源の空気塊により全 $\alpha$ ・全 $\beta$ 放射能濃度が低くなり、測定値がばらついたためと考えられた。

### (5) 北朝鮮による地下核実験の影響について

平成25年2月12日から2月22日の期間は、北朝鮮による地下核実験に伴い第2モードによる運転を実施した。その結果、全 $\beta$ /全 $\alpha$ 放射能濃度比は通常のレベルで推移し異常は認められなかった。この期間のデータは1時間値であるため本報告書の解析対象外のデータとし、この期間の解析については、「平成25年度環境省環境放射線等モニタリング調査等業務結果報告書（別冊）」内の資料5に示した。

### (6) トラブルについて

次のようなトラブルがあった。

#### ①ろ紙の巻き取り異常

利尻測定所において1月及び7月に、佐渡関岬測定所において3月に、蟠竜湖測

定所において9月に全 $\alpha$ ・全 $\beta$ 放射能濃度の欠測が生じた。ろ紙送り時に巻き取りろ紙がずれ、正常にろ紙送りが出来なくなり、サンプラが停止した。ろ紙交換時のろ紙のセットミスが原因と考えられ、利尻測定所及び佐渡関岬測定所については日立アロカメディカル（株）がろ紙の再セットを行うことで対処し、正常に動作していることを確認した。また、蟠竜湖測定所については県担当者がろ紙の再セットを行うことで対処し、正常に動作していることを確認した。

#### ②受信タイミング

佐渡関測定所において10月に、越前測定所において12月に、隠岐測定所において10月に、橿原測定所において1月、2月及び4月に、対馬測定所において7月及び11月に、辺戸岬測定所において8月に本来とは異なる測定値が記録された。原因是、測定装置と測定所端末でデータのやり取りがずれてしまい、本来と異なる時間で記録されたためであった。

#### ③ダストサンプラの流量計の故障

佐渡関岬測定所において1月に全 $\alpha$ ・全 $\beta$ 放射能濃度の欠測が生じた。原因是ダストサンプラの流量計の動作不良であった。日立アロカメディカル（株）が流量計の交換を行なうことで対処し、正常に動作することを確認した。

#### ④落雷による影響

越前岬測定所において4月及び5月に空間 $\gamma$ 線線量率、全 $\alpha$ ・全 $\beta$ 放射能濃度、並びに4月から7月に気象データの欠測が生じた。落雷の影響により測定所端末および気象機器が故障した。富士通FIP（株）が測定所端末の通信ボードを交換し、小笠原計器がデータロガーを修理することで対処し、正常に稼動していることを確認した。

### 2.3 今後の課題

モニタリングの精度の維持向上のため、監視システム及び気象関連装置について、以下の措置を講じることが望ましい。

#### (1) ろ紙交換について

ろ紙の巻き取り異常による欠測が発生した。ろ紙交換を行う際、ロットによってはうまく巻き取れなくなる状況が発生した。ダストサンプラのろ紙巻き取り機構をろ紙のロットに左右されないよう改善を行う必要がある。

#### (2) 気象観測装置の安定した運用について

気象観測装置の通信関係機器の故障は復旧までに長期間を要している。落雷の影響による機器の故障が目立った。気象観測データは空間 $\gamma$ 線線量率の測定結果を評

価する上でも重要であり、安定的に気象データを取得できるよう対策が必要である。

(3) 端末の HDD 容量について

環境省に設置しているサーバーの動作が鈍くなり、データの受信遅延が発生した。その他にも複数の測定所端末からのデータについて受信遅延が散見された。スムーズなデータ受信ができるよう HDD 増強などの対策が必要である。

### 3. モニタリング測定値に係る対応基準値（全 $\beta$ / 全 $\alpha$ 放射能濃度比）の設定について

#### 3.1 自動測定装置の更新後の対応基準値の設定方法

自動測定装置の更新後、一定期間のデータを蓄積し対応基準値を設定する。蓄積するまでの期間は、暫定的に更新前の対応基準値を用いる。一定期間は原則として3年間とし、必要に応じて期間を変えることとする。

#### 3.2 自動測定装置が更新された測定所の対応基準値の設定

越前岬測定所において自動測定装置が更新されたため、対応基準値を見直した。越前岬測定所における更新前後の全  $\beta$  / 全  $\alpha$  放射能濃度比の平均値及び対応基準値を表5に示す。

表5 越前岬測定所における更新前後の  
全  $\beta$  / 全  $\alpha$  放射能濃度比の平均値及び対応基準値

|                   | 平均値 | 対応基準値 |
|-------------------|-----|-------|
| 更新前 <sup>*1</sup> | 1.4 | 2.1   |
| 更新後 <sup>*2</sup> | 1.4 | 2.1   |

\*1 平成17年～平成19年から算出

\*2 平成25年3月～12月から算出

表5より、越前岬測定所については、更新前後の全  $\beta$  / 全  $\alpha$  放射能濃度比の平均値に差が見られなかったことから、更新前と同じ対応基準値を用いることとした。

### 3.3 自動測定装置が更新されて 3 年を経過した測定所の対応基準値の設定

竜飛岬測定所及び対馬測定所において自動測定装置が更新されて 3 年が経過したため、対応基準値の見直しを行った。竜飛岬測定所及び対馬測定所における更新前後の全  $\beta$  / 全  $\alpha$  放射能濃度比の平均値及び対応基準値を表 6～表 7 に示す。

表 6 竜飛岬測定所における更新前後の  
全  $\beta$  / 全  $\alpha$  放射能濃度比の平均値及び対応基準値

|                   | 平均値 | 対応基準値 |
|-------------------|-----|-------|
| 更新前 <sup>*1</sup> | 1.3 | 2.0   |
| 更新後 <sup>*2</sup> | 1.4 | 2.0   |

\*1 平成 17 年～平成 19 年から算出

\*2 平成 22 年 10 月～平成 25 年 10 月から算出

表 7 対馬測定所における更新前後の  
全  $\beta$  / 全  $\alpha$  放射能濃度比の平均値及び対応基準値

|                   | 平均値 | 対応基準値 |
|-------------------|-----|-------|
| 更新前 <sup>*1</sup> | 1.4 | 2.1   |
| 更新後 <sup>*2</sup> | 1.4 | 2.1   |

\*1 平成 17 年～平成 19 年から算出

\*2 平成 22 年 1 月～平成 25 年 1 月から算出

表 6 より、竜飛岬測定所については、更新前後の全  $\beta$  / 全  $\alpha$  放射能濃度比の平均値から算出した対応基準値に差が見られなかったことから、更新前と同じ対応基準値を用いることとした。

表 7 より、対馬測定所については、更新前後の全  $\beta$  / 全  $\alpha$  放射能濃度比の平均値から算出した対応基準値に差が見られなかったことから、更新前と同じ対応基準値を用いることとした。

今後の対応基準値を表 8 に示す。

表8 平成26年度の各測定所における全 $\beta$ /全 $\alpha$ 放射能濃度比に係る対応基準値

|                                       | 利尻  | 竜飛岬 | 佐渡関岬 | 越前岬 | 隱岐  | 蟠竜湖 | 檍原  | 対馬  | 五島  | 辺戸岬 |
|---------------------------------------|-----|-----|------|-----|-----|-----|-----|-----|-----|-----|
| 全 $\beta$ /全 $\alpha$ 比 <sup>*1</sup> | 1.3 | 1.4 | 1.4  | 1.4 | 1.4 | 1.3 | 1.3 | 1.4 | 1.4 | 1.3 |
| 対応基準値 <sup>*2</sup>                   | 2.0 | 2.0 | 2.1  | 2.1 | 2.1 | 2.0 | 2.0 | 2.1 | 2.1 | 2.0 |

\*1 集じん中測定における全 $\beta$ /全 $\alpha$ 放射能濃度比（6時間値）の平均値

蟠竜湖、辺戸岬は平成17年～平成19年の平均値

利尻、佐渡関岬、隱岐、檍原、五島は平成21年～平成24年の平均値

竜飛岬、対馬は平成22年～平成25年の平均値

越前岬は平成25年の自動測定装置の更新後の平均値

\*2 全 $\beta$ /全 $\alpha$ 比の平均値×1.5

## 4. まとめ

### 4.1 空間 $\gamma$ 線線量率

対応基準値（200nGy/h）を超えた結果はなかった。

空間  $\gamma$  線線量率について、平成 25 年 1 月から 12 月の調査期間における平均値、最大値、最小値等を算出するとともに、その変動範囲及び変動要因について解析を行った。空間  $\gamma$  線線量率の変動範囲は、過去 3 年間の変動範囲とほぼ同程度であった。降雨時または降雪時に空間  $\gamma$  線線量率の上昇及び積雪時の低下は認められたが、 $\gamma$  線通過率に異常は見られず、人工放射性核種の影響は認められなかった。

### 4.2 大気浮遊じんの全 $\alpha$ ・ 全 $\beta$ 放射能濃度

6 時間測定値について、対応基準値（通常の全  $\beta$  / 全  $\alpha$  放射能濃度比の 1.5 倍）を超えた結果はなかった。

大気浮遊じんの全  $\alpha$  ・ 全  $\beta$  放射能濃度及び全  $\beta$  / 全  $\alpha$  放射能濃度比についての平成 25 年 1 月から 12 月の調査期間における平均値、最大値、最小値等を算出するとともに、その変動範囲及び変動要因について解析を行った。大気浮遊じんの全  $\alpha$  ・ 全  $\beta$  放射能濃度の変動範囲は、過去 3 年間の変動範囲とほぼ同程度であった。全  $\beta$  / 全  $\alpha$  放射能濃度比に異常は見られず、人工放射性核種の影響は認められなかった。

### 4.3 対応基準値（全 $\beta$ / 全 $\alpha$ 放射能濃度比）

竜飛岬測定所、越前岬測定所及び対馬測定所について対応基準値の見直しを行った。

上記 3 地点について、更新前後の対応基準値に差は見られなかったため、更新前と同じ対応基準値を用いることとした。